

16
СИБИРСКОЕ ОТДЕЛЕНИЕ АН СССР
ИНСТИТУТ ЯДЕРНОЙ ФИЗИКИ

Г.Е.Векштейн, П.З.Чеботаев

ЧИСЛЕННОЕ МОДЕЛИРОВАНИЕ
СТЕНОЧНОГО УДЕРЖАНИЯ
ПЛОТНОЙ ПЛАЗМЫ

ПРЕПРИНТ 80 - 4 2



Новосибирск

ЧИСЛЕННОЕ МОДЕЛИРОВАНИЕ СТЕНОЧНОГО УДЕРЖАНИЯ
ПЛОТНОЙ ПЛАЗМЫ

Г.Е.Векштейн, П.Э.Чеботаев

Возникший в последние годы интерес к исследованию свойств плазмы высокого давления ($\beta = 8\pi n T / H^2 \gg 1$) связан с появлением ряда предложений по использованию такой плазмы в работах по управляемому термоядерному синтезу [1,2]. Речь идет об удержании плазмы в длинных соленоидах, когда роль магнитного поля сводится только к подавлению теплопроводности плазмы, а радиальное ее равновесие обеспечивается за счет контакта плазмы с жесткими стенками. Отсюда происходит и название - "стеночное" или "немагнитное" удержание плазмы. Привлекательность этого способа удержания состоит в существенном снижении требований к напряженности магнитного поля, что особенно важно для плазмы с высокой плотностью $n \gg 10^{17} \text{ см}^{-3}$, при магнитном удержании которой ($H^2/8\pi \geq nT$, $T \sim 10^4$ эВ) необходимы уже мегагауссные магнитные поля.

Эта, довольно очевидная, возможность обсуждалась еще в самом начале термоядерных исследований. Однако при переходе к высоким плотностям и, соответственно, малым временам удержания (критерий Лоусона $\tau_L \geq 10^{14}/n$) для нагрева плазмы необходимы импульсные источники энергии большой мощности, которых в то время не было, и поэтому интерес к стеночному удержанию плазмы возродился лишь в 70-е годы. Сейчас плазму с плотностью $n \sim 10^{17} + 10^{18} \text{ см}^{-3}$ можно нагревать пучками заряженных частиц или излучением CO_2 лазера, распространяющимися вдоль магнитного поля. Еще более плотную плазму с $n \geq 10^{20} \text{ см}^{-3}$ предполагается получать при ее адиабатическом сжатии и нагреве металлическим лайнером. Так что сегодня стали уже актуальными детальные проработки термоядерного реактора, основанного на стеночном удержании плазмы. Необходимой их частью являются численные расчеты поведения плазмы. Поэтому нам кажется полезным описать здесь физические принципы и численные методы, использованные ранее [3,4] для численного моделирования динамики нагрева и

охлаждения плазмы с $\beta \gg 1$.

Плазму считаем помещенной в бесконечно длинную цилиндрическую трубу радиуса R и обладающей аксиальной симметрией, так что система описывается следующими параметрами: плотность $n_e = n_i = n(r, t)$, температура $T(r, t)$ ¹⁾, радиальная скорость течения плазмы $v(r, t)$, продольное магнитное поле $H(r, t)$. Так как представляющие интерес времена удержания плазмы существенно превышают звуковое время R/c_s (c_s — скорость звука), то инерцией можно пренебречь и считать плазму находящейся в механическом равновесии в каждый момент времени:

$$\frac{\partial}{\partial r} \left(2nT + \frac{H^2}{8\pi} \right) = 0 \quad (1)$$

Здесь следует отметить, что хотя в основном объеме плазмы магнитное давление мало $H^2/8\pi \ll 2nT$, в пристеночной области его необходимо учитывать, т.к. там магнитное поле может резко возрасти (см. ниже). Скорость плазмы определяется теперь из уравнения непрерывности:

$$\frac{dn}{dt} + \frac{n}{r} \frac{\partial}{\partial r} (rv) = 0 \quad (2)$$

Уравнение эволюции магнитного поля удобно записать так:

$$\frac{d}{dt} \left(\frac{H}{n} \right) = \frac{1}{nr} \frac{\partial}{\partial r} r \left(\frac{c^2}{4\pi\sigma_1} \frac{\partial H}{\partial r} + \frac{c\beta_A^u T}{en} \frac{\partial T}{\partial r} \right) \quad (3)$$

В правой его части наряду с обычной магнитной вязкостью учитываются термоэлектрические эффекты (эффект Нернста), играющие важную роль в плазме с большим β . Здесь и в дальнейшем используются обозначения, принятые в обзоре [5]. В уравнении переноса тепла

$$3n \frac{dT}{dt} - 2T \frac{dn}{dt} = \frac{1}{r} \frac{\partial}{\partial r} r \left(\chi_1 \frac{\partial T}{\partial r} + \frac{cT\beta_A^u T}{4\pi ne} \frac{\partial H}{\partial r} \right) + \frac{c\beta_A^u r}{4\pi en} \frac{\partial H}{\partial r} \frac{\partial T}{\partial r} + \frac{c^2}{16\pi^2 \sigma_1} \left(\frac{\partial H}{\partial r} \right)^2 + Q_H - Q_r \quad (4)$$

1) Температуры электронов и ионов плазмы остаются равными, т.к. время их выравнивания меньше Лоусоновского.

первый член в правой части связан с тепловым потоком из-за теплопроводности плазмы и протекающего в ней тока, два следующих учитывают тепловыделение вследствие сил трения между электронами и ионами, а величины Q_H и Q_r — соответственно объемные мощности нагрева и излучения из плазмы. Последнее складывается из тормозного излучения Q_T ($\text{кэВ}/\text{см}^3\text{сек}$) = $3,16 \cdot 10^{-15} n^2 (\text{см}^{-3}) T^{1/2} (\text{кэВ})$ и рекомбинационного Q_R ($\text{кэВ}/\text{см}^3\text{сек}$) = $1,02 \cdot 10^{-16} n^2 (\text{см}^{-3}) T^{-1/2} (\text{кэВ})$. Отметим, что при интересующих нас параметрах плазмы вклад рекомбинационного излучения в полные радиационные потери мал. Излучение плазмы считается незапертым и свободно уходящим из плазменного объема. В то же время физически очевидно, что из-за излучения температура плазмы не может стать ниже температуры стенки T_w , что учитывалось введением некоторого "обрезающего" множителя:

$$Q_r \left(\frac{\text{кэВ}}{\text{см}^3\text{сек}} \right) = 3,16 \cdot 10^{-15} n^2 (\text{см}^{-3}) T^{1/2} (\text{кэВ}) \left[1 + \frac{3,24 \cdot 10^{-2}}{T (\text{кэВ})} \right] \frac{(T - T_w)^2}{(T - T_w)^2 + T_w^2} \quad (5)$$

Это оправдано, если вклад областей с $T \sim T_w$ в полное излучение мал. Динамика нагрева плазмы зависит, конечно, от конкретного механизма нагрева. Для определенности мы выбрали зависимость мощности нагрева Q_H от r и t в форме, имитирующей нагрев плазмы релятивистским электронным пучком. Выходящие из катода электроны из-за малости ларморовского радиуса можно считать движущимися вдоль силовых линий магнитного поля, а так как в реальных условиях магнитное поле заморожено в катод, то величина Q_H однозначно определяется заданием потока энергии пучка на катоде $\dot{S}(r_0, t)$ (см. рис. 1):

$$Q_H(r, t) = \frac{\dot{S}(r_0, t)}{L} \frac{r_0 dr_0}{r dr} \quad (6)$$

где L — длина плазменного столба, а r_0 и r — радиусы магнитной поверхности на катоде и в плазме²⁾. Если магнитное

2) Вообще говоря, пучок выделяет энергию неоднородно по длине. Однако из-за большой продольной теплопроводности происходит усреднение энерговыделения по длине плазмы и в расчетах можно полагать Q_H не зависящим от z . Естественно, подразумевается, что плазма теплоизолирована от торцов.

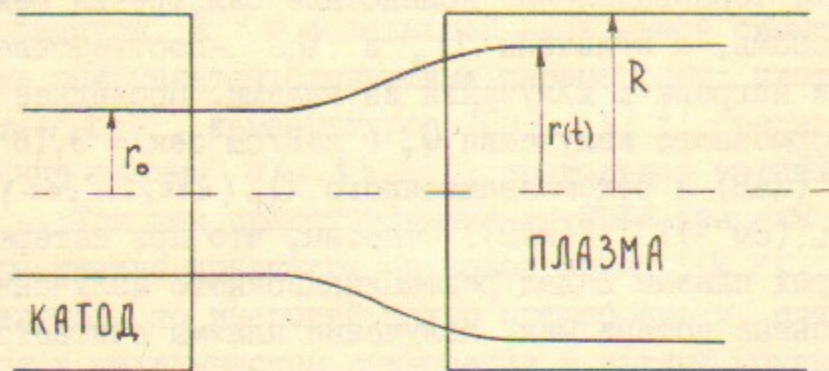


Рис. I.

поле в плазме $H(r, t)$ известно, то величина $r_0(r, t)$ находится из условия $H(r, t) r dr = H_0 r_0 dr_0$, где H_0 - начальное однородное магнитное поле. В приводимых ниже иллюстрациях

$$\frac{S(r, t)}{L} = \frac{1,4 \cdot W}{\pi R^2} \frac{t}{(\Delta t)^2} e^{-\frac{t}{\Delta t}} \left[e^{1 - r_0^2/R^2} - 1 \right]$$

где W - энергия, вкладываемая на единицу длины системы, а Δt - характерная длительность нагрева. Отметим, что при быстром нагреве плазмы, когда Δt много меньше энергетического времени жизни, характер остывания определяется лишь параметрами горячей плазмы, так что в этом случае можно моделировать поведение плазмы и для других механизмов нагрева.

Характерной особенностью стеночного удержания является большой диапазон изменения параметров плазмы. Поэтому входящие в ур. (3) и (4) коэффициенты переноса оказываются различными в горячей плазме и в пристеночном слое. В расчетах мы использовали приведенные в [5] следующие интерполяционные формулы:

$$\begin{aligned} \delta_1 &= \frac{n e^2 \tau_e}{m_e \delta_1}; & \delta_1 &= 1 - \frac{6,42 x_e + 1,84}{\Delta_e}; & x_e &= \omega_{ne} \tau_e \\ \Delta_e &= x_e^4 + 14,79 x_e^2 + 3,77; & \beta_{\Lambda}^{uT} &= n \delta_2; & \delta_2 &= \frac{1,5 x_e^3 + 3,05 x_e}{\Delta_e} \end{aligned} \quad (7)$$

$$x_1 = \frac{n T \tau_e}{m_e} \delta_3 + \frac{n T \tau_i}{m_i} \delta_4 + B \frac{n e T}{16 e H}; \quad \delta_3 = \frac{4,66 x_e^2 + 11,92}{\Delta_e}$$

$$\delta_4 = \frac{2 x_i^2 + 2,64}{\Delta_i}; \quad \Delta_i = x_i^4 + 2,7 x_i^2 + 0,68 \quad (7)$$

$$x_i = \omega_{ni} \tau_i$$

В коэффициент теплопроводности α_{\perp} помимо электронного и ионного вклада, добавлена боровская теплопроводность с некоторым численным множителем B , варьированием которого можно учитывать аномальность теплопроводности плазмы. Считая плазму равнокомпонентной смесью дейтерия и трития, мы условно положили $m_i = 2,5 m_p$. Для величин τ_e , τ_i , $\omega_{ne} \tau_e$ и $\omega_{ni} \tau_i$ удобны практические выражения:

$$\tau_e (\text{сек}) \approx 7,4 \cdot 10^8 T^{3/2} (\text{кэВ}) / n (\text{см}^{-3});$$

$$\tau_i (\text{сек}) \approx 7,1 \cdot 10^{10} T^{3/2} (\text{кэВ}) / n (\text{см}^{-3});$$

$$\omega_{ne} \tau_e \approx 1,3 \cdot 10^{16} n (e) \cdot T^{3/2} (\text{кэВ}) / n (\text{см}^{-3});$$

$$\omega_{ni} \tau_i \approx 2,7 \cdot 10^{14} n (e) \cdot T^{3/2} (\text{кэВ}) / n (\text{см}^{-3});$$

Перейдем теперь к граничным и начальным условиям для ур. (I-4). Эти уравнения, описывающие полностью ионизованную идеальную плазму, становятся непригодными непосредственно у материальной стенки, где необходимо учитывать весьма сложные процессы, связанные с испарением стенки, неидеальностью плазмы и т.д. Если же интересоваться поведением только относительно горячей ($T \gg 10$ эВ) плазмы, то наличие стенки можно учесть введением простых граничных условий для системы (I-4). Так, мы считаем, что стенка имеет некоторую постоянную температуру T_w . Как показывают расчеты, при $T_w \leq 10$ эВ характеристики горячей плазмы перестают зависеть от конкретного значения T_w , что указывает на независимость свойств горячей плазмы от деталей пристеночных эффектов. Таким образом, полное описание можно разделить на два этапа: сначала из ур. (I-4) находятся потоки тепла и излучения на стенку, а за-

тем рассматривается испарение стенки и сопутствующие ему процессы (здесь мы ограничимся лишь первой частью этой программы). Радиальная скорость течения плазмы у стенки обращается в нуль: $v(t, r=R) = 0$. В плазме с большим β важную роль играет граничное условие у стенки для магнитного поля. Как видно из ур. (3), магнитное поле выносится к стенкам течением плазмы и из-за эффекта Нернста. Поэтому его распределение по радиусу существенно зависит от того, какая часть начального магнитного потока теряется в стенке из-за скин-эффекта. Если проводящая стенка имеет толщину d и коэффициент магнитной вязкости $D_m = \frac{c^2}{4\pi\sigma}$ (σ - проводимость стенки), то ур. (3) решается вместе с уравнением диффузии магнитного поля в коже:

$$\frac{\partial H}{\partial t} = \frac{D_m}{r} \frac{\partial}{\partial r} \left(r \frac{\partial H}{\partial r} \right) \quad R < r \leq R+d \quad (8)$$

с такими граничными условиями:

$$H|_{R-0} = H|_{R+0}; \quad H_{R+d} = H_0; \quad \left(\frac{c^2}{4\pi\sigma} \frac{\partial H}{\partial r} + \frac{c\beta_A}{en} \frac{\partial T}{\partial r} \right)_{R-0} = D_m \frac{\partial H}{\partial r} \Big|_{R+0} \quad (9)$$

В предельных случаях идеально проводящей ($D_m = 0$) и непроводящей стенки ($D_m = \infty$) граничные условия записываются непосредственно для ур. (3):

$$\left(\frac{c^2}{4\pi\sigma} \frac{\partial H}{\partial r} + \frac{c\beta_A}{en} \frac{\partial T}{\partial r} \right)_{r=R} = 0 \quad (D_m = 0) \quad (10)$$

$$H(t, R) = H_0 \quad (D_m = \infty)$$

Граничные условия в центре ($r = 0$) выражают отсутствие там источников тепла и частиц:

$$v|_{r=0} = \frac{\partial n}{\partial r} \Big|_{r=0} = \frac{\partial T}{\partial r} \Big|_{r=0} = \frac{\partial H}{\partial r} \Big|_{r=0} = 0 \quad (11)$$

В начальный момент времени имеется холодная плазма с температурой $T = T_w$ (температура стенки). Распределение плотности начальной плазмы можно варьировать при помощи параметра A_p : $n(r, 0) = n_0 \frac{A_p}{1 - \exp(-A_p)} e^{-A_p r^2 / R^2}$. При $A_p = 0$ начальная плазма однородна [$n(r, 0) = n_0$], а при $A_p > 0$ имеет максимум плотности в центре. Начальное магнитное поле в плазме определя-

лось из условия (I) с $H(R, 0) = H_0$. Такое профилирование плотности позволяет намного увеличить энергетическое время жизни плазмы³⁾ (см. приведенные ниже иллюстрации). Пояснить это можно так. Пусть перед нагревом холодная плазма занимает лишь центральную часть сечения трубы (например, $n(r, 0) = 0$ при $r > 0,7R$). Начальное же магнитное поле почти однородно, т.к. $nT_w \ll \frac{H_0^2}{8\pi}$. При этом, грубо говоря, одна половина полного магнитного потока проходит через плазму, а вторая вне плазмы. После включения нагрева горячая плазма расширяется. Из-за хорошей проводимости горячей плазмы магнитный поток внутри ее не меняется, поэтому она сжимает внешнее магнитное поле до тех пор, пока его давление не сравняется с давлением плазмы. В результате образующаяся горячая плазма оказывается изолированной от стенок магнитным полем. Если бы замороженность магнитного поля не нарушалась, то плазма оставалась бы оторванной от стенок, а поток тепла на стенки был бы равен нулю. Поэтому потери энергии будут связаны с диффузией плазмы поперек магнитного поля. Но так как диффузия идет медленно (коэффициент диффузии в $(m_i/m_e)^{1/2}$ раз меньше температуропроводности [5]), то время остывания такой плазмы может быть большим.

Как для численного интегрирования, так и для выявления соотношений подобия (scaling), в ур. (I-4) удобно перейти к безразмерным переменным. Единицы измерения выбирались такими: для плотности - начальная плотность n_0 , магнитного поля - начальное поле H_0 , температуры - характерная температура горячей плазмы $T_0 = 1$ кэВ, длины - радиус плазмы R , времени - характерное время остывания плазмы из-за ионной теплопроводности $t_0 = R^2 e H_0 (\omega_{ni} \tau_i)_0 / c T_0$, скорости - R/t_0 . После этого ур. (I-4) переписываются в следующем виде:

$$\frac{\partial}{\partial r} \left(nT + \frac{H^2}{8\pi} \right) = 0 \quad (1')$$

$$\frac{dn}{dt} + \frac{n}{r} \frac{\partial}{\partial r} (rv) = 0 \quad (2')$$

3) При неоднородной плотности начальной плазмы ($A_p > 0$) таким же образом профилировалась и мощность нагрева плазмы $Q_H(r, t)$

$$\frac{d}{dt} \left(\frac{H}{n} \right) = \frac{1}{nr} \frac{\partial}{\partial r} r \left(\frac{4\delta_0}{\beta_0} \frac{\delta_1}{x_e} \frac{H}{n} \frac{\partial H}{\partial r} + \delta_0 \delta_2 \frac{\partial T}{\partial r} \right), \quad 0 \leq r < 1 \quad (3')$$

$$\frac{\partial H}{\partial t} = \frac{\epsilon}{r} \frac{\partial}{\partial r} \left(r \frac{\partial H}{\partial r} \right), \quad 1 < r < r_d, \quad r_d = \frac{R+d}{R}$$

$$n \frac{dT}{dt} - \frac{2T}{3} \frac{dn}{dt} = \frac{\delta_0}{3r} \frac{\partial}{\partial r} r \left[\frac{nT}{H} (\delta_3 x_e + \delta_4 x_i + \frac{\beta}{16}) \frac{\partial T}{\partial r} + \frac{4\delta_0}{\beta_0} T \frac{\partial H}{\partial r} \right] + \frac{4\delta_0}{3\beta_0} \delta_2 \frac{\partial H}{\partial r} \frac{\partial T}{\partial r} + \frac{16\delta_0}{3\beta_0^2} \frac{H}{n} \frac{\delta_1}{x_e} \left(\frac{\partial H}{\partial r} \right)^2 + P \frac{t e^{-t/\tau}}{\tau^2} (e^{t/\tau} - 1) - \alpha_0 \frac{n^2 T^{1/2} (T-\gamma)^2}{\gamma^2 + (T-\gamma)^2} \quad (4')$$

Сюда входят такие безразмерные параметры:

$$\beta_0 = \frac{16\pi n_0 T_0}{H_0^2} \approx 8,04 \cdot 10^{-8} \frac{n_0 (\text{см}^{-3})}{H_0^2 (\text{вс})}; \quad \delta_0 = (\omega_{hi} \tau_i)_0 \approx \frac{2,7 \cdot 10^{14} H_0 (\text{вс})}{n_0 (\text{см}^{-3})}$$

$$\epsilon = \frac{Dm t_0}{R^2} \approx 2,7 \cdot 10^3 \frac{H_0^2 (\text{вс}) Dm (\text{см}^2/\text{сек})}{n_0 (\text{см}^{-3})}$$

$$\tau = \frac{\Delta t}{t_0} \approx 0,37 \cdot 10^{-3} \frac{n_0 (\text{см}^{-3}) \Delta t (\text{сек})}{R^2 (\text{см}) H_0^2 (\text{вс})}$$

$$P = \frac{1,4 W_H}{\pi R^2 \beta_0 T_0} \approx 9,3 \cdot 10^{17} \frac{W_H (\text{кДж/см})}{n_0 (\text{см}^{-3}) R^2 (\text{см})}$$

Относительная роль излучения характеризуется величиной α_0 , равной отношению t_0/τ_r , где τ_r - радиационное время остывания: $\tau_r = 3n_0 T_0 / Q_r(n_0, T_0)$, $\alpha_0 \approx 2,8 \cdot 10^{-12} R^2 (\text{см}) H_0^2 (\text{вс})$

В этих обозначениях $x_i = \delta_0 n T^{3/2} / n$, $x_e \approx 48,15 \delta_0 n T^{3/2} / n$. Теперь из уравнений видно, что характер остывания плазмы определяется параметрами β_0 , δ_0 , ϵ и α_0 . Так как поперечный размер плазмы R входит только в величину α_0 ($\alpha_0 \propto R^2$), то отсюда можно заключить, например, что при малых R , когда роль радиационных потерь невелика, время остывания плазмы пропорционально R^2 .

Результаты численного интегрирования можно выдавать как в виде профилей T , n и H (выдаются значения этих величин в каждом лагранжевом слое и его радиус), так и в виде таких интегральных характеристик, как тепловая энергия плазмы

$$W_r = 2\pi \int_0^R dr 3nTr$$

, полные потери на излучение

$$W_p = 2\pi \int_0^R dt \int_0^R Q_r dr$$

, ядерное энерговыделение

$$W_3 = 2\pi \int_0^R dt \int_0^R Q_3 r dr$$

4) При вычислении последнего считалось, что плазма равнокомпонентная смесь дейтерия и трития, и в каждом акте реакции выделяется 17,6 МэВ, а число реакций в единице объема в единицу времени [6]:

$$g_{dt} = 0,78 \cdot 10^{-12} \frac{n^2}{T^{3/4}} e^{-\frac{19,97}{T^{1/3}}} \quad (12)$$

Приведем теперь некоторые графики, иллюстрирующие основные особенности стеночного удержания. На рис.2 показаны профили T , n и H после нагрева плазмы в случае идеально проводящей стенки и однородной начальной плотности плазмы. Как видно, в этом случае магнитное поле остается с хорошей точностью замороженным в плазму во всем объеме. На следующем рисунке (рис.3) изображена временная эволюция параметров горячей плазмы на оси системы ($r=0$), энергии плазмы W_p и ядерного выхода W_3 в тех же условиях. Время остывания плазмы оказывается примерно на порядок меньше классического

$R=5 \text{ см}$, $T(\text{кэВ})$, $n(10^{18} \text{ см}^{-3})$, $H(10^5)$

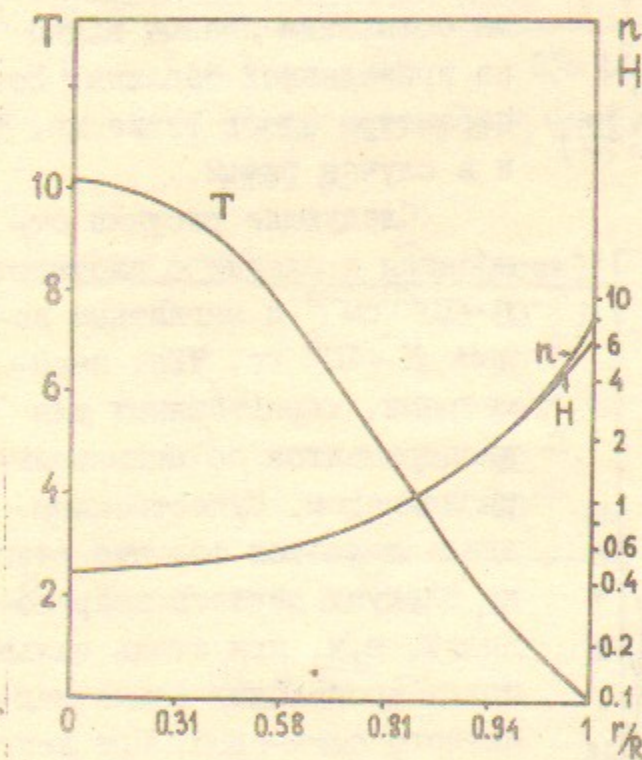
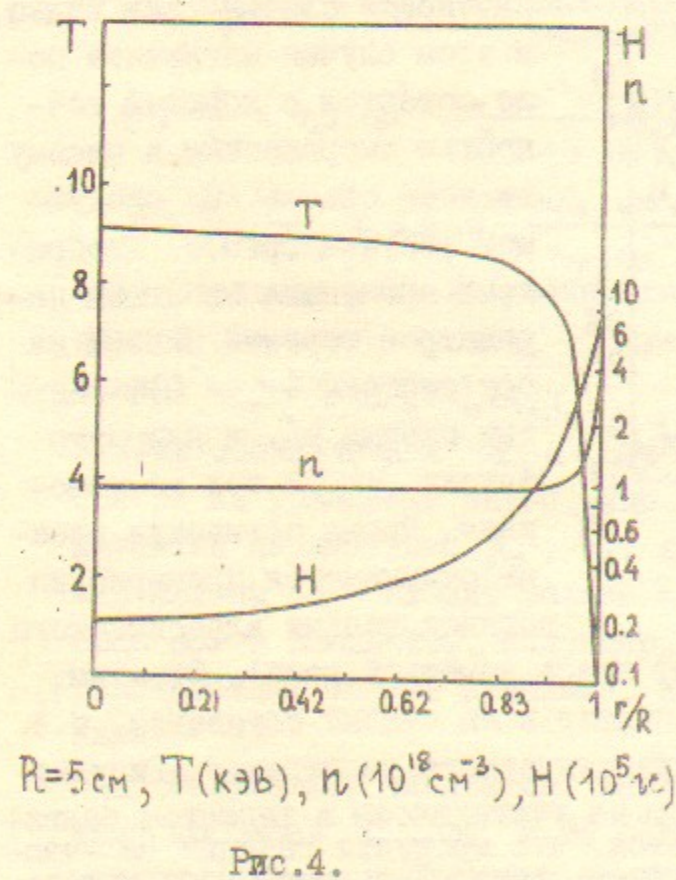
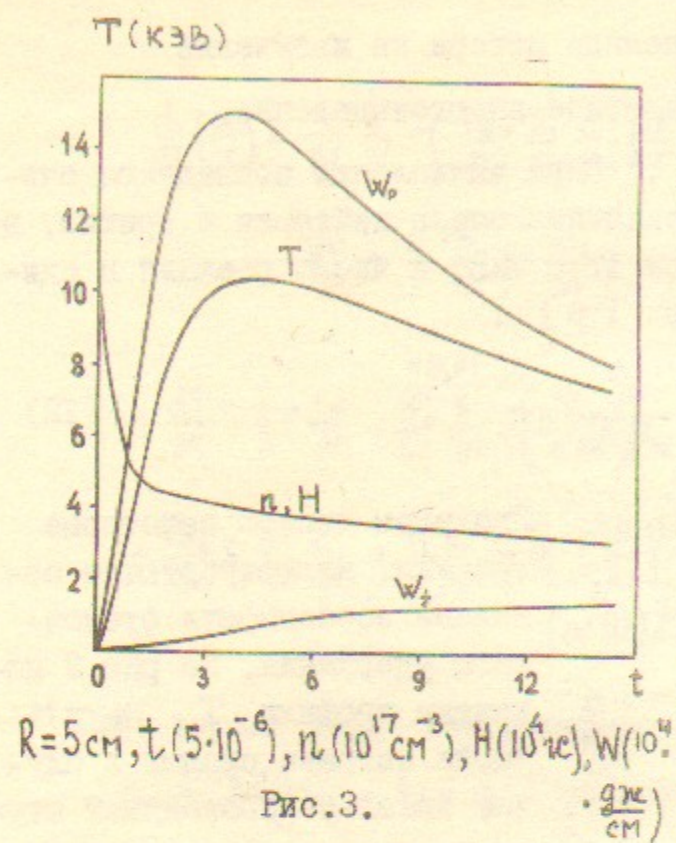


Рис.2.

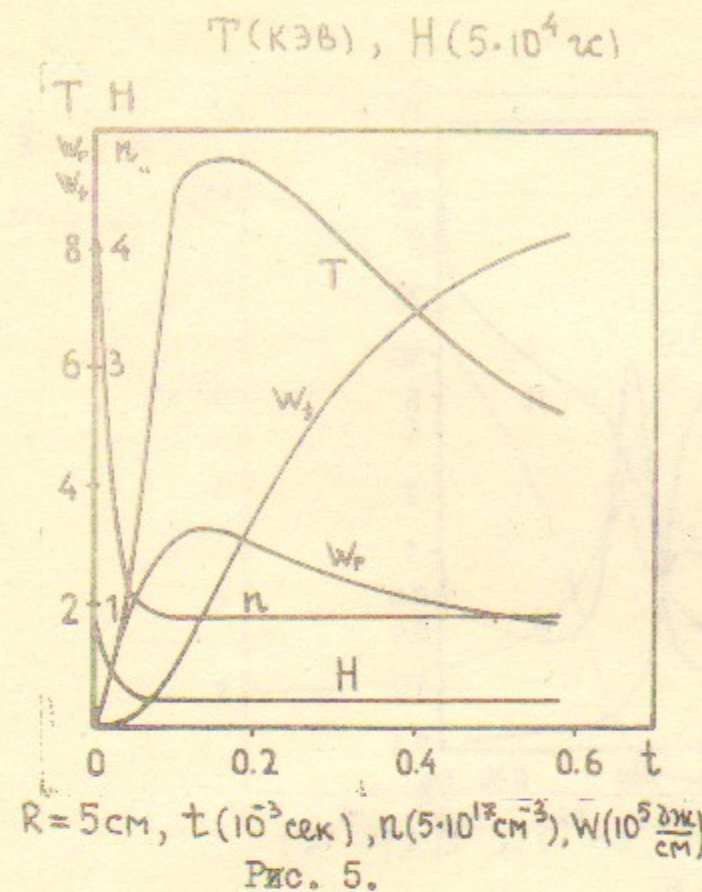
(потери на излучение не играют здесь заметной роли). Отметим, что плотность горячей плазмы падает и на стадии остывания, т.е. она охлаждается вследствие адиабатического расширения. Рисунки

4) Ядерное энерговыделение Q_3 не учитывалось в тепловом балансе плазмы, т.к. предполагается, что продукты реакции (α -частицы и нейтроны) покидают объем, занятый плазмой, без потерь энергии.



4 и 5 относятся к случаю плазмы с профилированной начальной плотностью ($A_p=4$). Теперь после нагрева плотность плазмы становится почти однородной по сечению, а магнитное поле сильно вытесняется к стенкам. На стадии остывания плотность горячей плазмы не меняется, а время остывания и ядерное энерговыделение существенно увеличиваются. Влияние конечной проводимости стенок на время остывания плазмы видно из приведенной таблицы. Все параметры здесь такие же, как и в случае рис. 2.

Следующие рисунки относятся к плазме с плотностью $n \sim 10^{20} \text{ см}^{-3}$ и магнитным полем $H \sim 10^6 \text{ Гс}$, т.е. параметрами, характерными для экспериментов со сжимающимся лайнером. Существенным здесь является то, что стенку следует считать непроводящей, т.к. при столь сильных полях происходит взрыв магнитного скин-слоя. При непроводящей стенке магнитное поле уже не усиливается в пристеночном слое, и это приводит к еще более заметному возрастанию энергетических потерь из плазмы. Зная величину этих потерь (которые



D_m (см ² /сек)	τ_E (мсек)
0	$5,2 \cdot 10^{-2}$
10^2	$4,2 \cdot 10^{-2}$
10^3	$2,7 \cdot 10^{-2}$
10^4	$1,7 \cdot 10^{-2}$
	$1,7 \cdot 10^{-3}$

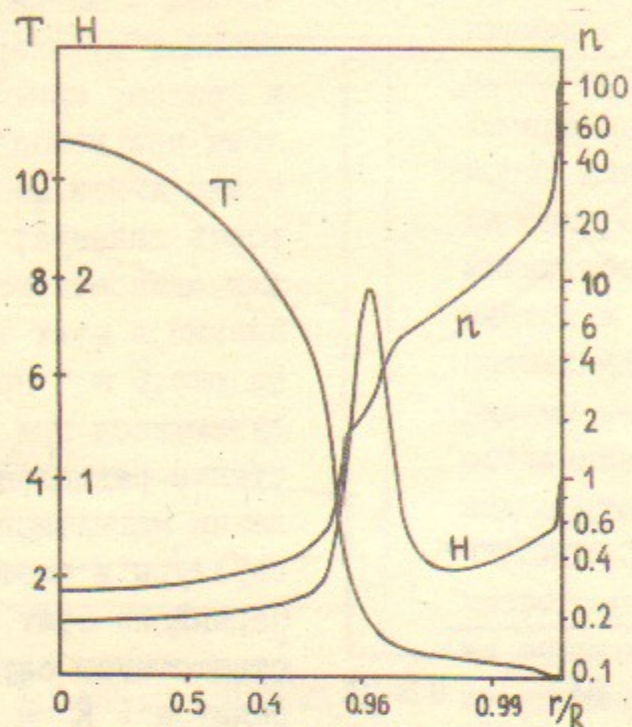
$R = 5 \text{ см}, n_0 = 10^{18} \text{ см}^{-3},$
 $H_0 = 10^5 \text{ Гс}.$

Таблица.

Перейдем теперь к краткому описанию алгоритма численных расчетов. В пристеночной области параметры плазмы имеют большие градиенты по радиусу, поэтому там надо иметь более густую сетку. Для этого в уравнения (1') - (4') вводится лагранже-

при заданных параметрах плазмы и магнитного поля не зависят от скорости лайнера и поэтому могут быть определены при неподвижной стенке), можно найти минимальную скорость лайнера, необходимую для адиабатического нагрева плазмы в этих условиях. На рис. 6 и 7 приведены получающиеся при непроводящей стенке радиальные распределения магнитного поля, температуры и плотности плазмы. Первый из этих рисунков соответствует случаю малого радиуса ($R = 1 \text{ см}$), когда потери на излучение малы и главную роль играет теплопроводность. Второй ($R = 10 \text{ см}$) - так называемый "волне остывания" [7], когда потери энергии определяются излучением из тонкого пристеночного слоя, и время остывания плазмы растет линейно с увеличением R . На рис. 8 показано, как с увеличением радиуса плазмы происходит переход от теплопроводностного режима остывания к излучательному.

Перейдем теперь к краткому описанию алгоритма чис-



$R=1\text{ см}, T(\text{кэВ}), n(10^{20}\text{ см}^{-3}), H(10^6\text{ э})$

Рис.6.

вая переменная m :

$$m^2 = 2 \int_0^r n r dr$$

Для численного решения уравнения (3') - (4') удобно записать относительно новых переменных

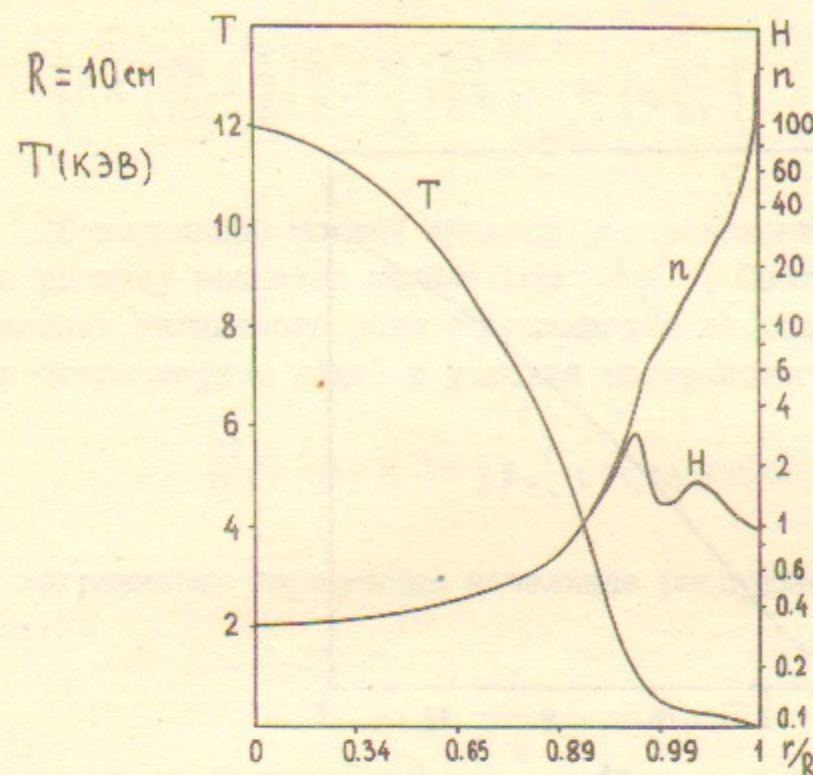
$$S = \frac{T^{3/2}}{n}, \quad Q = \frac{H}{n}$$

Учитывая, что

$$\frac{\partial T}{\partial m} = \frac{2}{5} \left[\frac{n}{T^{1/2}} \frac{\partial S}{\partial m} - \frac{2Q}{\beta_0} \frac{\partial H}{\partial m} \right]$$

$$\frac{\partial H}{\partial m} = \left[\frac{\partial Q}{\partial m} - \frac{2}{5} \frac{Q}{S} \frac{\partial S}{\partial m} \right] \left[\frac{1}{n} + \frac{6}{5} \frac{Q^2}{\beta_0 T} \right]^{-1}$$

приведем уравнения (3'), (4') к виду



$H(10^6\text{ э})$
 $n(10^{20}\text{ см}^{-3})$

Рис.7

$$\begin{aligned} \delta_0^{-1} \frac{n}{T^{1/2}} \frac{dS}{dt} = & \frac{1}{m} \frac{\partial}{\partial m} \left[\frac{r^2 n^3 T^{1/2}}{m H} \cdot \frac{\delta_5}{5} \frac{\partial S}{\partial m} \right] + \frac{1}{m} \frac{\partial}{\partial m} \left[\frac{2 r^2 n T}{m \beta_0} (\delta_2 + \frac{\delta_5}{5}) \frac{\partial H}{\partial m} \right] + \\ & + \frac{2}{\beta_0 m} \frac{r}{\partial m} \frac{\partial H}{\partial m} \left[\frac{4}{\beta_0 m} \frac{r H}{\partial m} \frac{\delta_1}{x_e} + \frac{n r}{m} \delta_2 \frac{\partial T}{\partial m} \right] \\ & + \rho \frac{\partial \delta_1}{\partial m} \left[\frac{t e^{-t/\tau} (1-r^2)}{n \tau^2 (e^{-t/\tau} - 1)} - \alpha_0 n T^{1/2} \frac{(T-\gamma)^2}{\gamma^2 + (T-\gamma)^2} \right] \end{aligned} \quad (13)$$

$$\text{где } \delta_5 = \delta_3 x_e + \delta_4 x_i + B/16$$

$$\delta_0^{-1} \frac{dQ}{dt} = \frac{4}{\beta_0 m} \frac{\partial}{\partial m} \left\{ \frac{r^2 n^2 Q}{\left(1 + \frac{6}{5 \beta_0} \frac{Q^2 n^{1/3}}{S^{2/3}}\right)} \left(\frac{\delta_1}{x_e} - \frac{\delta_2}{5} \right) \frac{1}{m} \frac{\partial Q}{\partial m} \right\} + \quad (14)$$

$$+ \frac{2}{5} \frac{1}{m} \frac{\partial}{\partial m} \left\{ \left[\frac{r^2 n^2 \delta_2}{(S n)^{1/3}} - \frac{4}{\beta_0} \frac{r^2 n^2 Q}{S \left(1 + \frac{6}{5 \beta_0} \frac{Q^2 n^{1/3}}{S^{2/3}}\right)} \left(\frac{\delta_1}{x_e} - \frac{\delta_2}{5} \right) \right] \frac{1}{m} \frac{\partial S}{\partial m} \right\}$$

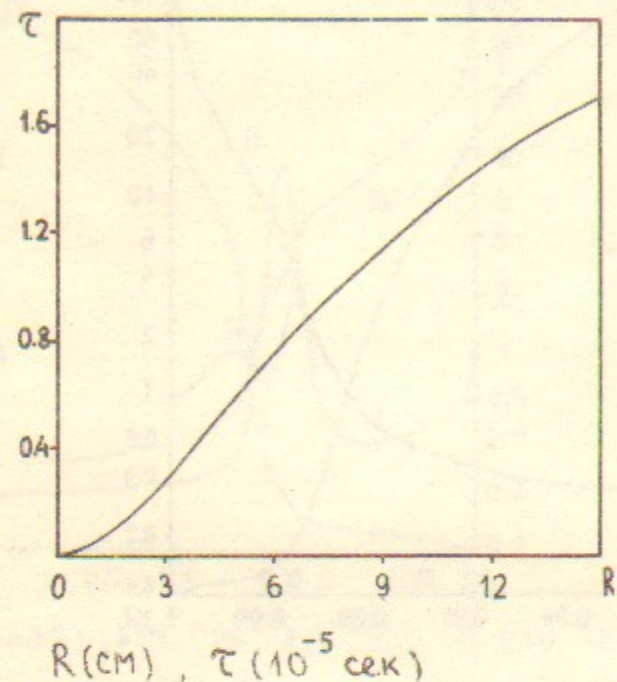


Рис. 8.

В центре ($m = 0$) из условия $\frac{\partial T}{\partial m} = \frac{\partial H}{\partial m} = 0$ следует

$$\frac{\partial S}{\partial m} = \frac{\partial Q}{\partial m} = 0$$

Обозначим

$$F_1 = \frac{4}{\beta} \frac{Q}{(1 + \frac{6}{5\beta_0} \frac{Q^2 n^{1/3}}{S^{2/3}})} \left(\frac{\delta_1}{x_e} - \frac{\delta_2}{5} \right)$$

$$F_2 = \delta_2 / (S n)^{1/3}$$

и проинтегрируем уравнение (14) по объему:

$$\delta_0^{-1} \frac{d}{dt} \int_0^1 Q m dm = \delta_0^{-1} \frac{d}{dt} \int_0^1 H r dr = \left\{ n^2 F_1 \left[\frac{\partial Q}{\partial m} + \frac{2}{5} \left(\frac{F_2}{F_1} - \frac{Q}{S} \right) \frac{\partial S}{\partial m} \right] \right\}_{m=1} \quad (15)$$

Соотношение (15) дает изменение магнитного потока в трубе. Если стенки идеально проводящие, то магнитный поток сохраняется и правая часть в (15) равна нулю. Для стенок с конечной проводи-

мостью вместо соотношения (9) получим

$$\left\{ F_1 n^2 \left[\frac{\partial Q}{\partial m} + \frac{2}{5} \left(\frac{F_2}{F_1} - \frac{Q}{S} \right) \frac{\partial S}{\partial m} \right] \right\}_{m=1} = \left\{ \varepsilon \frac{\partial H}{\partial r} \right\}_{r=1+0} \quad (16)$$

В начальный момент времени распределение плотности плазмы по радиусу задается параметром A_p . Соответствующее распределение магнитного поля определяется из условия $H(r, 0)_{r=1} = 1$ (в безразмерном виде) и условия постоянства давления по радиусу:

$$H^2(r, 0) = 1 + \gamma \beta_0 [n(1, 0) - n(r, 0)]$$

В лагранжевых переменных начальные распределения будут иметь вид:

$$n(m, 0) = \frac{A_p}{1 - e^{-A_p}} - A_p m^2$$

$$H(m, 0) = \sqrt{1 + \gamma \beta_0 A_p (m^2 - 1)}$$

$$r(m, 0) = \sqrt{-\frac{1}{A_p} (n[1 + (e^{-A_p} - 1)m^2])}$$

Разностные аналоги уравнений (13), (14) и (8') можно представить в виде

$$A_i^m \varphi_{i-1}^{m+1} - B_i^m \varphi_i^{m+1} + C_i^m \varphi_{i+1}^{m+1} = -G_i^m$$

решение которых находится методом прогонки

$$\varphi_i^{m+1} = L_i \varphi_{i+1}^{m+1} + K_i$$

где

$$L_i = \frac{C_i^m}{B_i^m - A_i^m L_{i-1}}, \quad K_i = \frac{A_i^m K_{i-1} + G_i^m}{B_i^m - A_i^m L_{i-1}}$$

Разобьем область, занятую плазмой, на N интервалов с шагом h_1 , а область, занятую стенкой, на K интервалов с шагом h_2 . Из разностного аналога граничного условия (I6)

$$(F_1 n)_N^m \left[Q_N^{m+1} - Q_{N-1}^{m+1} + \frac{2}{5} \left(\frac{F_2}{F_1} - \frac{Q}{S} \right)_{N-1/2}^m (S_N - S_{N-1})_N^{m+1} \right] = \frac{\varepsilon h_1}{h_2} (H_{N+1}^{m+1} - H_N^{m+1})$$

и соотношения

$$Q_{N-1}^{m+1} = L_{N-1} Q_N^{m+1} + K_{N-1}$$

получим, что на границе плазма-стенка поля H_N^{m+1} и H_{N+1}^{m+1} связаны соотношением

$$H_N^{m+1} = \frac{F_3}{1+F_3} H_{N+1}^{m+1} + \frac{n_N^m \Phi}{1+F_3}$$

где

$$F_3 = \frac{\varepsilon h_1}{(F_1 n)_N^m h_2 (1-L_{N-1})}$$

$$\Phi = \frac{K_{N-1} - 0.4 \left(\frac{F_2}{F_1} - \frac{Q}{S} \right)_{N-1/2}^m (S_N - S_{N-1})}{1-L_{N-1}}$$

Полагая начальные коэффициенты прогонки для определения магнитного поля в стенке равными

$$L_0^{(e)} = \frac{F_3}{1+F_3}, \quad K_0^{(e)} = \frac{n_N^m \Phi}{1+F_3}$$

и задавая магнитное поле на наружной границе стенки, можно определить H и Q в соответствующих областях.

Граничное условие на стенке для переменной S задавалось в виде

$$S_N^{m+1} = \gamma^{3/2} / n_N^m$$

Из уравнения (I') следует, что давление в плазме однородно по радиусу и зависит только от времени, т.е.

$$nT + \frac{H^2}{\beta_0} = p(t) = n^2 \left(\frac{S^{2/3}}{n^{1/3}} + \frac{Q^2}{\beta_0} \right) \quad (I7)$$

Это уравнение позволяет определить плотность плазмы. Извлекая квадратный корень из обеих частей (I7) и интегрируя полученное соотношение по области, занятой плазмой, получим

$$\int_0^1 \left(\frac{S^{2/3}}{n^{1/3}} + \frac{Q^2}{\beta_0} \right)^{1/2} m dm = p^{1/2}(t) \int_0^1 \frac{m dm}{n} = 0.5 p^{1/2}(t)$$

Подставляя найденное значение $p(t)$ в (I7), получим уравнение для плотности плазмы

$$n = \frac{2 \int_0^1 \left(\frac{S^{2/3}}{n^{1/3}} + \frac{Q^2}{\beta_0} \right)^{1/2} m dm}{\left(\frac{S^{2/3}}{n^{1/3}} + \frac{Q^2}{\beta_0} \right)^{1/2}} \quad (I8)$$

Решение уравнения (I8) ищется итерациями, которые для заданных S и Q сходятся, что позволяет определить значения n в узлах сетки. В уравнения (I3) и (I4) входят значения радиусов, которые в разностной схеме относятся к границам лагранжевых слоев. При движении плазмы лагранжевая сетка деформируется. Из уравнения непрерывности можно определить скорость узлов сетки и, тем самым, положения этих узлов в каждый момент времени. Однако такая процедура счета неустойчива. Значения радиусов можно найти, если воспользоваться определением лагранжевой переменной m :

$$r_m^2 = 2 \int_0^m \frac{m dm}{n} = \frac{1}{\int_0^m \left(\frac{S^{2/3}}{n^{1/3}} + \frac{Q^2}{\beta_0} \right)^{1/2} m dm} \int_0^m \left(\frac{S^{2/3}}{n^{1/3}} + \frac{Q^2}{\beta_0} \right)^{1/2} m dm$$

Следует заметить, что формулы для вычисления интегралов в числителе и знаменателе должны быть одними и теми же. В противном случае при $m = 1$ $r \neq 1$, что приведет к неустойчивости счета.

В приложении дан текст программы TERMCK, написанной на языке FORTRAN. Работа программы управляется 17-ю параметрами, находящимися в массиве F. Оператором DATA этот массив первоначально заполнен и эти значения параметров приведены в образце выдачи. С помощью NAMELIST /DAN/ F и READ (5, DAN) в массив F можно вносить необходимые изменения.

Шаг по времени выбирается постоянным по формуле

$$\tau = \frac{\text{время НАГРЕВА}}{M} = \frac{F(7)}{F(14)}$$

Параметр F (15) определяет τ_1 , частоту выдачи запасенной энергии, ядерного выхода и т.д.

$$\tau_1 = F(15) \cdot \tau$$

Если необходимо, можно выдавать распределение плотности плазмы, температуры, магнитного поля в зависимости от радиуса с частотой $\tau_2 = F(16) \cdot \tau_1$. Параметр F (13) задает шаг выдачи распределения по радиусу. Например, если $F(13) = 4$, то будут выдаваться значения в узлах сетки с номерами 0, 4, 8, 12 и т.д.

Л и т е р а т у р а :

- 1 Velikhov E.P. Comments on Plasma Physics, 1, 171, 1972
- 2 Budker G.I. In Controlled Fusion and Plasma Physics (Proc. 6-th Europ. Conf., Moscow, 1973), 2, 136
- 3 Векштейн Г.Е., Рюттов Д.Д., Спектор М.Д., Чеботаев П.З. Докл. VI Европ. конфер. по физике плазмы, т. I, стр. 411, Москва, 1973.
- 4 Vekstein G.E., Mirnov V.V., Ryutov D.D., Chebotaev P.Z. In Controlled Fusion and Plasma Physics, IAEA, CN-35/E-21, Berchtesgaden, BRD, 1976
- 5 Брагинский С.И. В сб. "Вопросы теории плазмы", т. I, стр. 183, Атомиздат, 1963.
- 6 Арцимович Я.А. Управляемые термоядерные реакции, Москва, 1961, стр. 8.
- 7 Векштейн Г.Е. ПМТФ, № 6, 31, 1976.

```

C PROGRAM TERMCK
COMMON/W/EN(402),V(402),P(402),H(402),EK(402),A(402)
*/W1/B(402),Q(402),T,TV,R1/W2/Z,Z1
*/WW/SN(402),EN1(402)
*/W3/H1(402),H2(402),HK(303)
DIMENSION F(17)
DATA F/1.,1.,1.2E-04,1.E+20,1.E+06,1.0E+03,0.1E-03,0.,
*0.02,1.,200.,50.,1.,4.,1.,100.,1.,4.,4./
NAMELIST /DAN/F
READ(5,DAN)
PRINT 300
300 FORMAT(/,50X,21HPROГРАММА T E R M C K//)
BEAM=F(10)
IF(BEAM)44,44,45
44 PRINT301
301 FORMAT(/,5X,33HPУЧОК НЕ СВЯЗАН С МАГНИТНЫМ ПОЛЕМ,
*6X,'H=RHO*T*EXP(-T/DT)/DT *',
*'EXP(-AP*R*R)*(EXP(1-R*R)-1)/(N*(E-1))'//)
GOTO 46
45 PRINT302
302 FORMAT(,74X,1HR,19X,1HR/
*5X,30HPУЧОК СВЯЗАН С МАГНИТНЫМ ПОЛЕМ,
*6X,'H=RHO*T*EXP(-T/DT)/DT *EXP(-AP*2*S(H*R)+DR)',
*'*(EXP(1-2*S(H*R)*DR)-1)/(N*(E-1))'//
*74X,1HR,19X,1HR//)
46 PRINT 115,F
115 FORMAT(40X,17HВХОДНЫЕ ПАРАМЕТРЫ//
*5X,20HРАДИУС ПЛАЗМЫ.....E10.3,1X,4H(BM)/
*5X,20HТОЛЩИНА КОЖУХА.....E10.3,1X,4H(BM)/
*5X,20HУД.СОП.МАТ.КОЖУХА.....E10.3,1X,7H(OM*CM)//
*5X,20HНАЧ.ПЛОТ.ПЛАЗМЫ.....E10.3,1X,8H(CM(-3))/
*5X,20HМАГНИТНОЕ ПОЛЕ.....E10.3,1X,4H(GC)/
*5X,20HЭНЕРГИЯ ИСТОЧНИКА.....E10.3,1X,7H(KJ/CM)/
*5X,20HВРЕМЯ НАГРЕВА.....E10.3,1X,6H(MCEK)/
*5X,20HБОМОВ.КОЭФФИЦИЕНТ.....E10.3/
*5X,20HТЕМПЕРАТУРА СТЕНКИ.....E10.3,1X,5H(KEV)/
*5X,20HКЛЮЧ ДЛЯ ПУЧКА.....E10.3/
*5X,20HСЕТКА ПЛАЗМЫ.....E10.3/
*5X,20HСЕТКА СТЕНКИ.....E10.3/
*5X,20HШАГ ВЫДАЧИ ПО РАА.....E10.3/
*5X,20HШАГ ПО ВРЕМ.(КОЭФФ).....E10.3/
*5X,20HШАГ ВЫДАЧИ.....E10.3/
*5X,20HВРЕМ.ШАГ ДЛЯ РАСПР.....E10.3/
*5X,20HПАРАМЕТР AP.....E10.3/
*/)
N=F(11)
KN=F(12)
M=N+1
MK=F(13)
R2=1./N
KM=KN+1
R2K=0.5/KN
S1=F(4)
S2=F(5)
S3=S2/S1
S2=S2*S2
R3=F(4)*1.E-17
R3=R3+F(7)
R4=F(9)
S4=S1/S2
R5=8.04*S4*1.E-08
R6=0.1
R1=R6/F(14)
F8=F(15)+R6
HTV1=F(16)*R6
R2K=F(2)/F(1)/KN
SM1=F(1)+F(1)*82/F(4)/F(7)*2.7E+05
SM2=F(4)*F(5)+F(5)*F(1)*4.*(1.E-15)/SM1*1.E-8
SM3=8.59*SM2*1.E-7
SM4=3.82*SM2
SM5=3.02*F(1)+F(1)*F(4)*(1.E-10)*1.E-8
SMKM=48.13*SM1
E=(1.3E+16)*S3
E1=(2.15E+11)*F(3)/S4/BM1

```

```

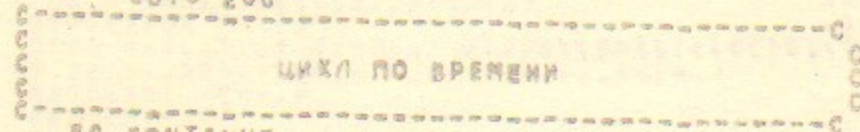
DPL=E/SMKM
DPLE=E1+DPL
FO=E1/R2K
FS=0.5*R2K
F10=F(10)
RK=DPLE/R2K/R2K
RKK=E1*R2/R2K
F816=F(8)/16.
PHO=(9.4E+17)/B1*F(6)/F(1)/F(1)
TSTOP=2.5
D3=1./240.
EP8=0.1
ISWICH=1
AP=F(17)
F11=2.
SUM=1.
S1=4.
RR=R2
DO 304 I=2,N
S2=RR*RR
SUM=SUM+S1*EXP(-AP*S2)*(EXP(1.-S2)-1.)*RR
S1=6.-S1
304 RR=RR+R2
SUM=SUM+R2/3.
PHO=PHO+0.36/SUM
C1=R2*R2
R6=1./R6
R8=DPL/C1
R9=4.*R8/R5
RS=R4+SQRT(R4)
R10=R4*R4
R31=0.5*R9
R32=R31/R5
R35=R5/4.
R7=1.2/R5
R11=0.4*R8
C.....
2 T=0.
TV=0.
TV1=HTV1
X=0.
S9=0.
SNUCL=0.
IF(AP)32,32,31
31 P(1)=R4
AA=AP/(1.-EXP(-AP))
DD=R3+R4
H(1)=SQRT(1.-DD*AP)
GM=AP/AA
EN(1)=AA
SN(1)=RS/AA
ER(1)=0.
S7=0.
DO 3 I=2,M
S7=S7+R2
C6=S7*S7
S4=1.-GM*C6
S1=AA*S4
EN(I)=S1
ER(I)=SQRT(-ALOG(S4)/AP)
H(I)=SQRT(1.+DD*AP*(C6-1.))
SN(I)=R4*SQRT(R4)/S1
H1(I)=H(I)/S1
3 P(I)=R4
DO 306 I=1,KH
306 HK(I)=1.
S2 GOTO 200
S2 S6=0.
DO 33 I=1,M
ER(I)=S6
EN(I)=1.
H(I)=1.
H1(I)=1.

```

```

3N(I)=RS
S6=S6+R2
33 P(1)=R4
DO 310 I=1,KM
310 NK(I)=1.
GOTO 200

```



```

50 CONTINUE
13 T=T+R1
R13=R1+R2
R13=R1+R2
R14=R1+R2
R15=R1+R2
R16=R1+R2
R17=R1+R2
R18=R1+R2
R19=R1+R2
R20=R1+R2
R21=R1+R2
R22=R1+R2
R23=R1+R2
R24=R1+R2
R25=R1+R2
R26=R1+R2
R27=R1+R2
R28=R1+R2
R29=R1+R2
R30=R1+R2
R31=R1+R2
R32=R1+R2
R33=R1+R2
R34=R1+R2
R35=R1+R2
R36=R1+R2
R37=R1+R2
R38=R1+R2
R39=R1+R2
R40=R1+R2
R41=R1+R2
R42=R1+R2
R43=R1+R2
R44=R1+R2
R45=R1+R2
R46=R1+R2
R47=R1+R2
R48=R1+R2
R49=R1+R2
R50=R1+R2
R51=R1+R2
R52=R1+R2
R53=R1+R2
R54=R1+R2
R55=R1+R2
R56=R1+R2
R57=R1+R2
R58=R1+R2
R59=R1+R2
R60=R1+R2
R61=R1+R2
R62=R1+R2
R63=R1+R2
R64=R1+R2
R65=R1+R2
R66=R1+R2
R67=R1+R2
R68=R1+R2
R69=R1+R2
R70=R1+R2
R71=R1+R2
R72=R1+R2
R73=R1+R2
R74=R1+R2
R75=R1+R2
R76=R1+R2
R77=R1+R2
R78=R1+R2
R79=R1+R2
R80=R1+R2
R81=R1+R2
R82=R1+R2
R83=R1+R2
R84=R1+R2
R85=R1+R2
R86=R1+R2
R87=R1+R2
R88=R1+R2
R89=R1+R2
R90=R1+R2
R91=R1+R2
R92=R1+R2
R93=R1+R2
R94=R1+R2
R95=R1+R2
R96=R1+R2
R97=R1+R2
R98=R1+R2
R99=R1+R2
R100=R1+R2

```

```

41 IF (BEAM) 41, 41, 42
C4=S4+R4
S4=(EXP(1.-C4)-1.)*R15/S3
S4=S4+EXP(-AP+C4)
GOTO 43
42 SUM=SUM+0.5*R2*(R7+R24+H(I-1)*(R24-R2))/S3
C6=F11+SUM
S4=S7*(EXP(1.-C4)-1.)*R15/S3
S4=S4+EXP(-AP+C4)
43 C1=R3+R3*SQRT(S3)*C1/(C1+R10)
C1=C1*(1.+0.0324/S3)-S4
S4=R33+R23*(S3-S4)+DD*SN(I)
S4=S4+R34*(R7+R24+DL1/DLO+R35+Z+R37*DL2)
V(I)=(S1+R23*V(I-1)-1.8*R1*(C1+S4))/C2
S4=RR
S5=R17
S7=R18
S3=R16
S6=S8
GM=GM+R2
4 S1=S2
SN(M)=R2/EN(M)
DO 5 I=1,M
5 SN(M-I)=SN(M+1-I)+R2*(M-I)+V(M-I)
DO 7 I=1,M
S1=SN(I)
IF (S1) 67, 67, 7
67 PRINT 305
305 FORMAT (25X, 14#AВАРИЯНАЯ ВДАЧА
* 1X, 20#ПО ОТРИЦАТЕЛЬНОМУ ЗНАЧЕНИЮ SN/)
PRINT 102, (SN(J), J=1, M)
STOP
7 CONTINUE
72 P(I)=(SN(I)+EN(I))*0.6667
S(1)=1.
A(1)=0.
S3=0.
S4=SN(1)
S5=SN(2)
S6=SN(3)
S1=0.5*(S3+S4)
S5=0.5*(S5+S6)
X=DLO+DLO
DD=X+14.79+3.77/X
DL1=1.-(6.42+1.84/X)/DD
DL2=(1.5+DLO+3.05/DLO)/DD
DL3=(1.5+DLO+3.05/DLO)/DD
X=0.6667
X=1.+R7+R7+R7*(Z+0.3333)/X
X=(DL1/DLO-0.2*DL2)/X
S1=2.*S1+S1+2.*S7*X/RE
GM=R2
DO 9 I=2,M
R17=EN(I+1)
R18=EN(I+1)
R19=EN(I+1)
R20=EN(I+1)
R21=EN(I+1)
R22=EN(I+1)
R23=EN(I+1)
R24=EN(I+1)
R25=EN(I+1)
R26=EN(I+1)
R27=EN(I+1)
R28=EN(I+1)
R29=EN(I+1)
R30=EN(I+1)
R31=EN(I+1)
R32=EN(I+1)
R33=EN(I+1)
R34=EN(I+1)
R35=EN(I+1)
R36=EN(I+1)
R37=EN(I+1)
R38=EN(I+1)
R39=EN(I+1)
R40=EN(I+1)
R41=EN(I+1)
R42=EN(I+1)
R43=EN(I+1)
R44=EN(I+1)
R45=EN(I+1)
R46=EN(I+1)
R47=EN(I+1)
R48=EN(I+1)
R49=EN(I+1)
R50=EN(I+1)
R51=EN(I+1)
R52=EN(I+1)
R53=EN(I+1)
R54=EN(I+1)
R55=EN(I+1)
R56=EN(I+1)
R57=EN(I+1)
R58=EN(I+1)
R59=EN(I+1)
R60=EN(I+1)
R61=EN(I+1)
R62=EN(I+1)
R63=EN(I+1)
R64=EN(I+1)
R65=EN(I+1)
R66=EN(I+1)
R67=EN(I+1)
R68=EN(I+1)
R69=EN(I+1)
R70=EN(I+1)
R71=EN(I+1)
R72=EN(I+1)
R73=EN(I+1)
R74=EN(I+1)
R75=EN(I+1)
R76=EN(I+1)
R77=EN(I+1)
R78=EN(I+1)
R79=EN(I+1)
R80=EN(I+1)
R81=EN(I+1)
R82=EN(I+1)
R83=EN(I+1)
R84=EN(I+1)
R85=EN(I+1)
R86=EN(I+1)
R87=EN(I+1)
R88=EN(I+1)
R89=EN(I+1)
R90=EN(I+1)
R91=EN(I+1)
R92=EN(I+1)
R93=EN(I+1)
R94=EN(I+1)
R95=EN(I+1)
R96=EN(I+1)
R97=EN(I+1)
R98=EN(I+1)
R99=EN(I+1)
R100=EN(I+1)

```

```

S6=DLO/R23*(R16-S4/XX*Z/R35)*(S8-S6)
S2=DLO/R23*Z
R23=1./GM
DLO=R13/R23
C1=1.+DLO*(S1+S2-S1*B(I-1))
B(I)=S2*DLO/C1
S4=S7/R14/R23*(S6-S3)
A(I)=(S1+DLO*A(I-1)+S4)/C1
S4=RR
S1=S2
S7=R18
S3=S6
S6=S8
GM=GM/R2
9 S3=R17
S4=0.5*(H1(M)+H1(N))
X=0.4*(R16/R35/Z-S6/XX)*(S8-SN(N))
H1(M)=(A(N)-X)/(1.-B(N))
R16=1./((1.-B(N))
F1=(A(N)-X)*R16
R23=RKK/R16
R23=R23/Z/R35
6 F2=R23/EN(M)
H2(I)=F2/(1.+F2)
V(I)=F1*EN(M)/(1.+F2)
DO 307 I=2,KN
S2=1.+R2K*(I-1)
S4=RK1/S2
S1=S4*(S2-S3)
S2=S4*(S2+F3)
C1=1./((S1+S2+1.-S1*H2(I-1))
H2(I)=S2*C1
307 V(I)=(S1+V(I-1)+HK(I))*C1
DO 308 I=1,KN
HK(KM-I)=H2(KM-I)*HK(KM+1-I)+V(KM-I)
H1(M)=HK(1)/EN(M)
DO 10 I=1,M
H1(M-I)=B(M-I)*H1(M+1-I)+A(M-I)
DO 61 I=1,M
61 EN(I)=EN(I)
DO 68 I=1,M
S2=H1(I)
S1=(EN(I))*0.3333
S3=(SN(I))*0.6667
68 V(I)=1./SQRT(S3/S1+S2+S2/R5)
S1=0.
S2=0.
S3=0.
X=0.
DO 62 I=2,M
X=X+R2
C1=X/V(I)
S3=S3+(C1+S1)*R2
62 S1=C1
DO 63 I=1,M
63 EN(I)=S3+V(I)
Z=0.
S1=0.
X=0.
DO 66 I=2,M
X=R2+X
S2=X/EN(I)
Z=Z+R2*(S2+S1)
66 EN(I)=SQRT(Z)
S1=0.
DO 65 I=1,M
S1=ABS((EN(I)-EN1(I))/EN(I))
IF(EP9-S1)6,65,65
65 CONTINUE
DO 64 I=1,M
64 H(I)=H1(I)*EN(I)
SUM=0.
S1=0.
S3=0.

```

```

DO 26 I=1,N
S2=ER(I+1)
S6=EN(I+1)
S3=S6+S6
S3=S3*(1+1)
S3=S3*0.3333
S7=S5*S5
S4=S6*S2=EXP(-19.97/S5)/S7
SUM=SUM+0.5*(S4+S3)*(S2-S1)
26 S1=S2
SNUCL=SNUCL+R1*SUM*SM4
S1=0.
S2=0.
S3=0.
DO 47 I=2,M
S2=S2+S2
S3=S3+R2
C1=P(I)-R4
C1=C1*C1
C1=C1/(R4+R4+C1)
47 S1=S1+S2*(S3+EN(I))*SQRT(P(I))*C1
S1=(S1+EN(M))*SQRT(R4)*R2/3.
S3=S3+S1*R1*SM3
IF(T-TSTOP)49,14,14
49 IF(T-TV1)S1,113,113
113 TV1=TV1+HTV1
200 TB=T+F(7)*10.
PRINT 101,TB
PRINT 103
PRINT 102,(P(I),I=1,M,MK)
PRINT 104
PRINT 102,(EN(I),I=1,M,MK)
PRINT 105
PRINT 102,(H(I),I=1,M,MK)
PRINT 114
114 FORMAT(/25X,5HKOWYX/)
PRINT 102,(HK(I),I=1,KN)
S1=0.
S2=0.
S3=0.
DO 18 I=2,M
X=ER(I)
C1=X*H(I)
S1=S1+0.5*(C1+S3)*(X-S2)
S3=C1
18 S2=X
PRINT 108,S1
PRINT 109
PRINT 102,(ER(I),I=1,M,MK)
PRINT 111
51 IF(T-TV)50,17,17
17 TV=TV+FB
TB=T+F(7)*10.
S2=0.
S7=0.
R17=0.
DO 24 I=2,M
S4=ER(I)
R18=P(I)*EN(I)*S4
S7=S7+0.5*(R17+R18)*(S4-S2)
R17=R18
24 S2=S4
S7=S7+SM5
S1=EN(1)
S2=P(1)
S3=H(1)
S4=EN(M)
S5=H(M)
PRINT 112,TB,S7,SNUCL,S3,S1,S2,S3,S4,S5
GOTO(50,15),ISWICH
101 FORMAT(/50X,9HВРЕМЯ T =,E10.3,1X,6H(MCEK))
102 FORMAT(8E14.7)
103 FORMAT(/25X,11HТЕМПЕРАТУРА,1X,5H(KEV))

```

```

104 FORMAT(//25X,9#ПЛОТНОСТЬ/)
105 FORMAT(//25X,16#МАГНИТНОЕ ПОЛЕ/)
107 FORMAT(//40X,16#К О Н Е Ц   Т =,-1PE14.7)
108 FORMAT(//10X,24#INTEGRAL OF MAGNETIC FIELD,5X,-1PE14.7)
109 FORMAT(//25X,6#РАДУС/)
111 FORMAT(//20X,10#ЗАПАСЕННАЯ,8X,7#ЯДЕРНАЯ,10X,8#ОБЪЕМНОЕ/
*3X,12#ВРЕМЯ (МСЕК),3X,15#ЭНЕРГИЯ (КДЖ/СМ),
*3X,13#ВЫХОД (КДЖ/СМ),3X,16#ИЗЛУЧЕНИЕ(КДЖ/СМ),
*3X,4#Н(0),6X,4#Н(1),6X,4#Н(2),
*6X,4#Н(3),6X,4#Н(4))//)
112 FORMAT(2X,E14.7,2X,E14.7,3X,E14.7,4X,E14.7,
*5(1PE10.2))
14  ISHTCH=2
15  GO TO 200
15  PRINT 107,T
STOP
END

```

ПРОГРАММА Т Е Р М С К

ПУЧОК СВЯЗАН С МАГНИТНЫМ ПОЛЕМ
$$H=R\dot{\theta} \Rightarrow T=EXR(-T/DT)/DT \Rightarrow EXP(-AP+2\int_0^R(H+R)DR) + (EXP(1-2\int_0^R(H+R)DR)-1)/(N*(E-1))$$

ВХОДНЫЕ ПАРАМЕТРЫ

РАДИУС ПЛАЗМЫ 0.120E 01 (SM)
ТОЛЩИНА КОЖУХА..... 0.100E 01 (SM)
УА.СОП.МАТ.КОЖУХА... 0.120E-03 (OM*CM)
НАЧ.ПЛОТ.ПЛАЗМЫ..... 0.100E 21 (CM⁻³)
МАГНИТНОЕ ПОЛЕ..... 0.100E 07 (G)
ЭНЕРГИЯ ИСТОЧНИКА.... 0.100E 04 (KJ/CM)
ВРЕМЯ НАГРЕВА..... 0.100E-03 (MSEC)
БОМОВ.КОЭФФИЦИЕНТ... 0.0
ТЕМПЕРАТУРА СТЕНЫ... 0.200E-01 (KEV)
КЛЮЧ ДЛЯ ПУЧКА..... 0.100E 01
СЕТКА ПЛАЗМЫ..... 0.200E 03
СТЕНКА СТЕНЫ..... 0.501E 02
ШАГ ВЫАЧИ ПО РАД... 0.410E 01
ШАГ ПО ВРЕМ. (КОЭФФ)... 0.100E 03
ШАГ ВНАЧУ АЛА РАДПР... 0.100E 01
ВРЕМ.ШАР АЛА РАДПР... 0.400E 01
ПАРАМЕТР AP..... 0.400E 01

ВРЕМЯ T = 0.0 (МСЕК)

0.2000000E-01 0.2000000E-01 0.2000000E-01 0.2000000E-01 0.2000000E-01 0.2000000E-01
0.2000000E-01 0.2000000E-01 0.2000000E-01 0.2000000E-01 0.2000000E-01 0.2000000E-01
0.2000000E-01 0.2000000E-01 0.2000000E-01 0.2000000E-01 0.2000000E-01 0.2000000E-01
0.2000000E-01 0.2000000E-01 0.2000000E-01 0.2000000E-01 0.2000000E-01 0.2000000E-01
0.2000000E-01 0.2000000E-01 0.2000000E-01 0.2000000E-01 0.2000000E-01 0.2000000E-01

ПЛОТНОСТЬ

0.4074629E 01 0.4075029E 01 0.4088229E 01 0.4090288E 01 0.4034629E 01 0.4017029E 01 0.3996228E 01
 0.3972229E 01 0.3943029E 01 0.3914629E 01 0.3881029E 01 0.3804229E 01 0.3761029E 01 0.3714629E 01
 0.3665030E 01 0.3611229E 01 0.3556230E 01 0.3497029E 01 0.3434629E 01 0.3380030E 01 0.3328230E 01
 0.3193030E 01 0.3074931E 01 0.2993031E 01 0.2908231E 01 0.2820231E 01 0.2729031E 01 0.2634631E 01
 0.2430232E 01 0.2332232E 01 0.2252032E 01 0.2111623E 01 0.2001033E 01 0.1884233E 01 0.1764233E 01
 0.1514633E 01 0.1385033E 01 0.1252234E 01 0.1111623E 01 0.9770349E 00 0.8346351E 00 0.6402355E 00
 0.3852352E 00 0.2350355E 00 0.7463658E 00

МАГНИТНОЕ ПОЛЕ

0.5973278E 00 0.5773431E 00 0.5981887E 00 0.5992630E 00 0.6097637E 00 0.6050311E 00 0.6077888E 00
 0.6109332E 00 0.6145244E 00 0.6184888E 00 0.6228414E 00 0.6295737E 00 0.6381437E 00 0.6439630E 00
 0.6501202E 00 0.6566234E 00 0.6634449E 00 0.6705807E 00 0.6780208E 00 0.6857556E 00 0.6937750E 00
 0.7104289E 00 0.7194443E 00 0.7283063E 00 0.7378057E 00 0.7473336E 00 0.7570410E 00 0.7672040E 00
 0.7875622E 00 0.7981089E 00 0.8088358E 00 0.8197364E 00 0.8308036E 00 0.8420308E 00 0.8534119E 00
 0.8766113E 00 0.8884183E 00 0.9003502E 00 0.9124199E 00 0.9246044E 00 0.9369051E 00 0.9493174E 00
 0.9744592E 00 0.9871810E 00 0.9999994E 00

КОЖУХ

0.1000000E 01 0.1000000E 01 0.1000000E 01 0.1000000E 01 0.1000000E 01 0.1000000E 01 0.1000000E 01
 0.1000000E 01 0.1000000E 01 0.1000000E 01 0.1000000E 01 0.1000000E 01 0.1000000E 01 0.1000000E 01
 0.1000000E 01 0.1000000E 01 0.1000000E 01 0.1000000E 01 0.1000000E 01 0.1000000E 01 0.1000000E 01
 0.1000000E 01 0.1000000E 01 0.1000000E 01 0.1000000E 01 0.1000000E 01 0.1000000E 01 0.1000000E 01
 0.1000000E 01 0.1000000E 01 0.1000000E 01 0.1000000E 01 0.1000000E 01 0.1000000E 01 0.1000000E 01
 0.1000000E 01 0.1000000E 01 0.1000000E 01 0.1000000E 01 0.1000000E 01 0.1000000E 01 0.1000000E 01

INTEGRAL OF MAGNETIC FIELD 0.0458652E 01

РАДИУС

0.7976872E 01 0.8902406E 02 0.1982345E 01 0.2975012E 01 0.3969435E 01 0.4966203E 01 0.5965958E 01 0.6969309E 01
 0.1627446E 00 0.1735327E 00 0.1844442E 00 0.1954901E 00 0.2066623E 00 0.2180336E 00 0.2295579E 00 0.2412703E 00
 0.2531874E 00 0.2653275E 00 0.2777107E 00 0.2903593E 00 0.3032988E 00 0.3165568E 00 0.3301651E 00 0.3441601E 00
 0.3585830E 00 0.3734815E 00 0.3889112E 00 0.4049337E 00 0.4216385E 00 0.4391066E 00 0.4574558E 00 0.4768263E 00
 0.4973947E 00 0.5193878E 00 0.5431044E 00 0.5689504E 00 0.5974973E 00 0.6295911E 00 0.6665661E 00 0.7110726E 00
 0.7666356E 00 0.8457747E 00 0.9999880E 00

ВРЕМЯ (МСЕК) ЗАПАСЕННАЯ ЭНЕРГИЯ (КДЖ/СМ) ЯДЕРНАЯ ВЫХОД (КДЖ/СМ) ОБЪЕМНОЕ ИЗЛУЧЕНИЕ (КДЖ/СМ) N(0) T(0) H(0) H(1) N(1) H(1)

0.0 0.3020514E 01 0.0 0.1432990E 23 0.0 0.2771283E 03 4.07E 00 2.00E 02 5.97E 01 7.46E 02 1.00E 00
 0.1009993E 03 0.3026165E 01 0.0 0.2599622E 23 0.0 0.8385091E 03 1.48E 00 2.00E 02 2.21E 01 5.96E 01 2.28E 00
 0.3009980E 03 0.3026825E 01 0.3740681E 23 0.1549797E 02 1.32E 00 2.00E 02 1.32E 00 2.03E 01 8.69E 01 2.89E 00
 0.3009965E 03 0.3026396E 01 0.3740681E 23 0.1549797E 02 1.32E 00 2.00E 02 1.32E 00 2.03E 01 1.01E 00 3.12E 00

Работа поступила - 23 января 1980 г.

Ответственный за выпуск - С.Г.ПОПОВ
 Подписано к печати 8.П-1980г. МН 06617
 Усл. 1,9 печ.л., 1,5 учетно-изд.л.
 Тираж 150 экз. Бесплатно
 Заказ № 42.

Отпечатано на роталпринте ИЯФ СО АН СССР